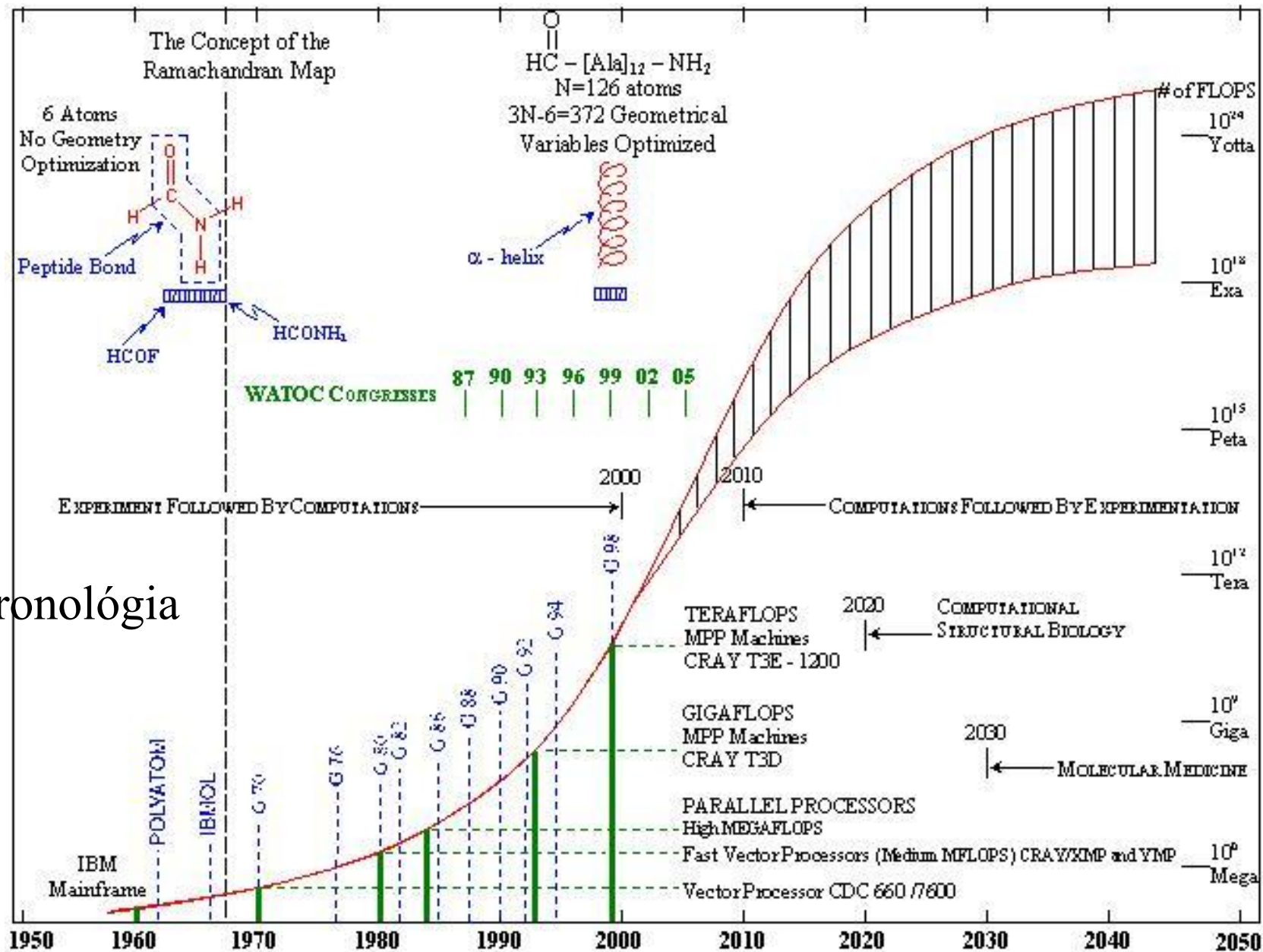
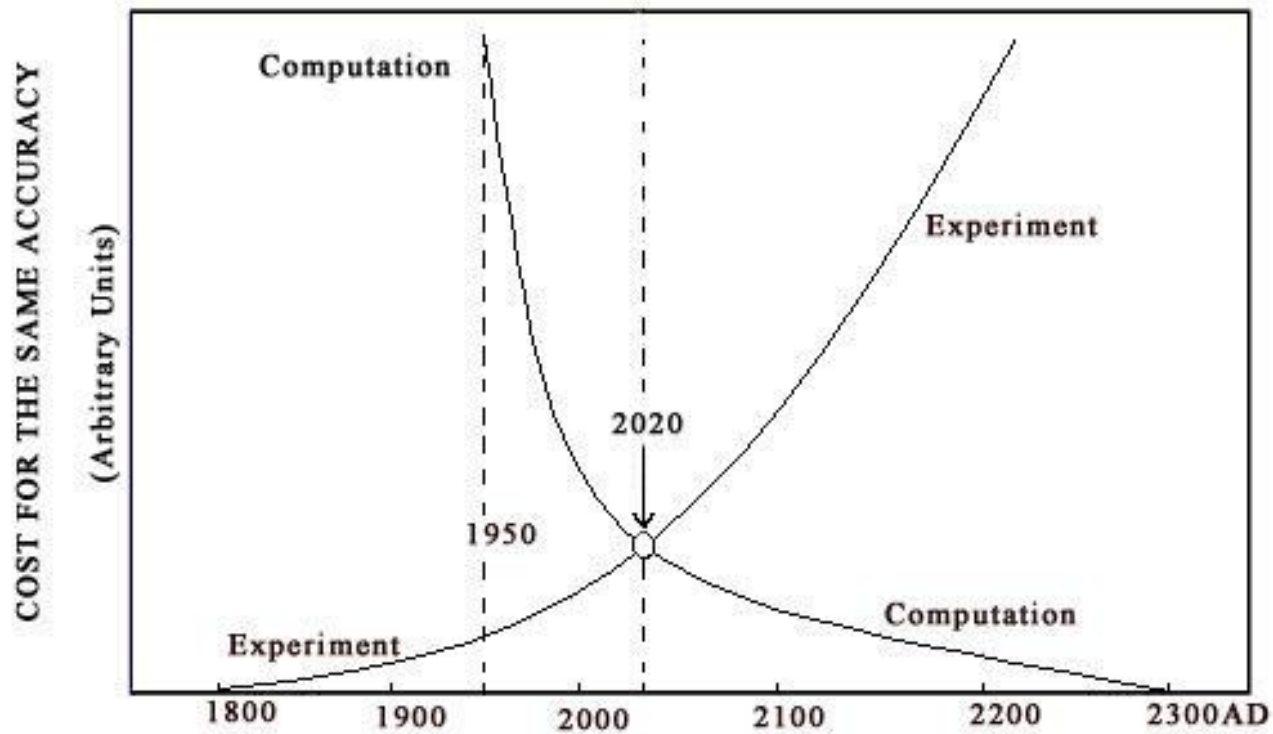
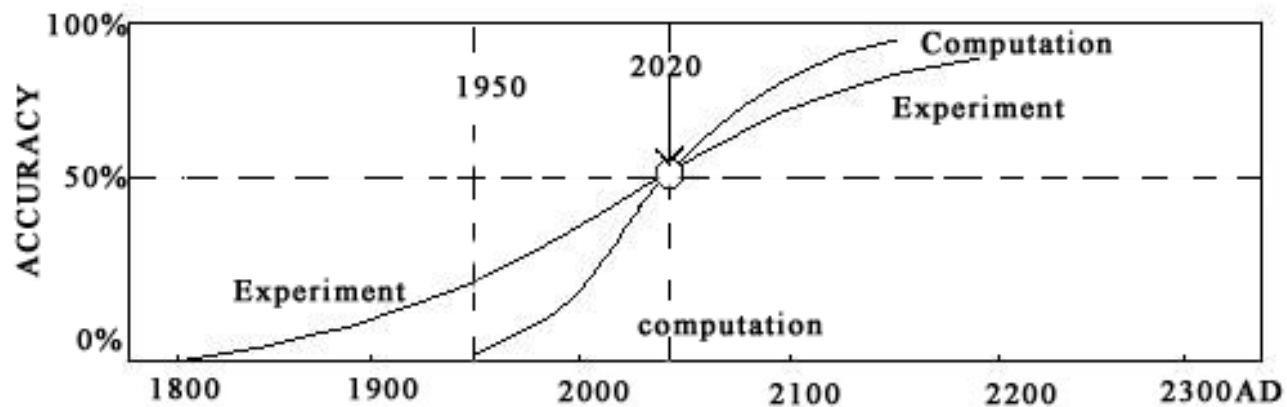


Gázfázisú peptidek és fehérjék konformációs tulajdonságai

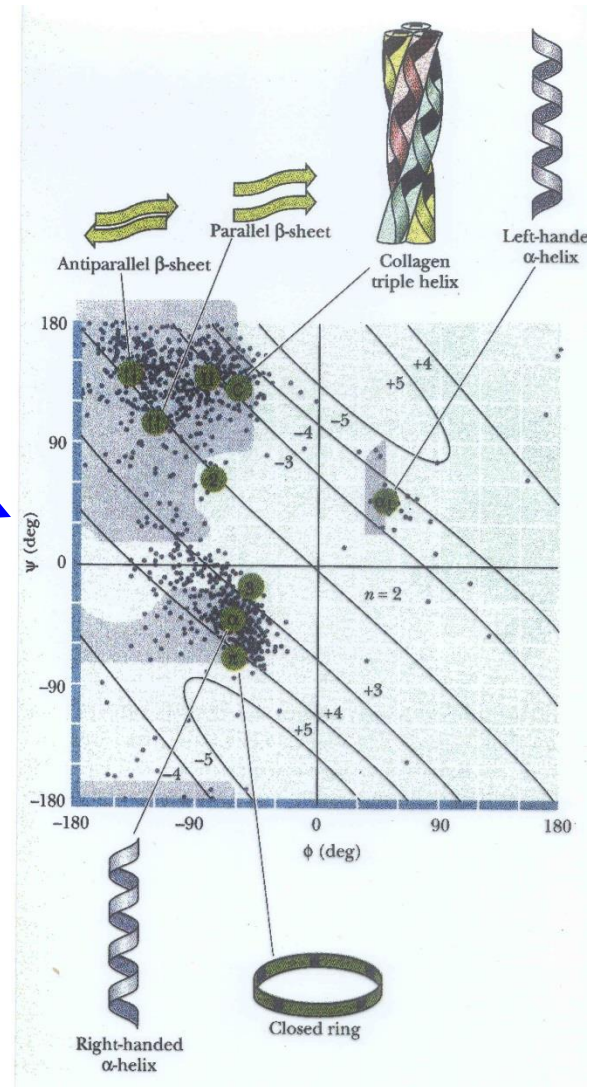
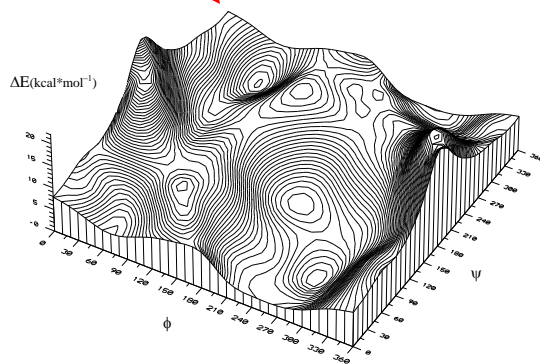
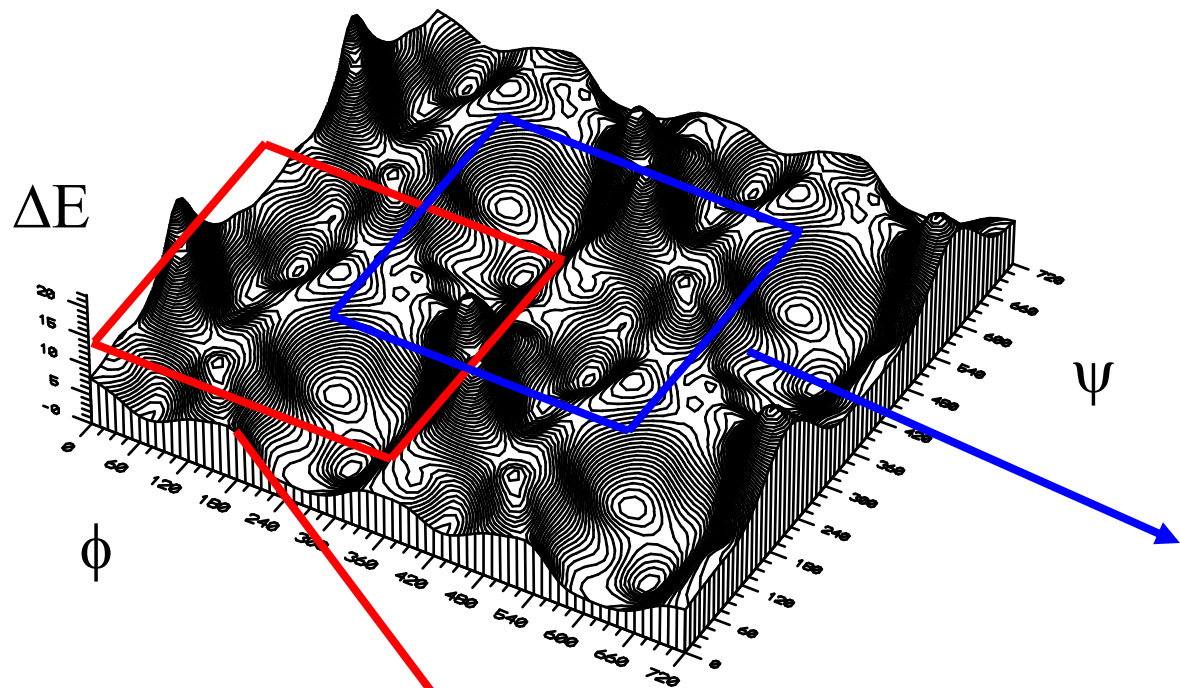
kronológia



tapasztalat és jóslás

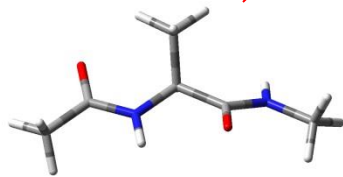
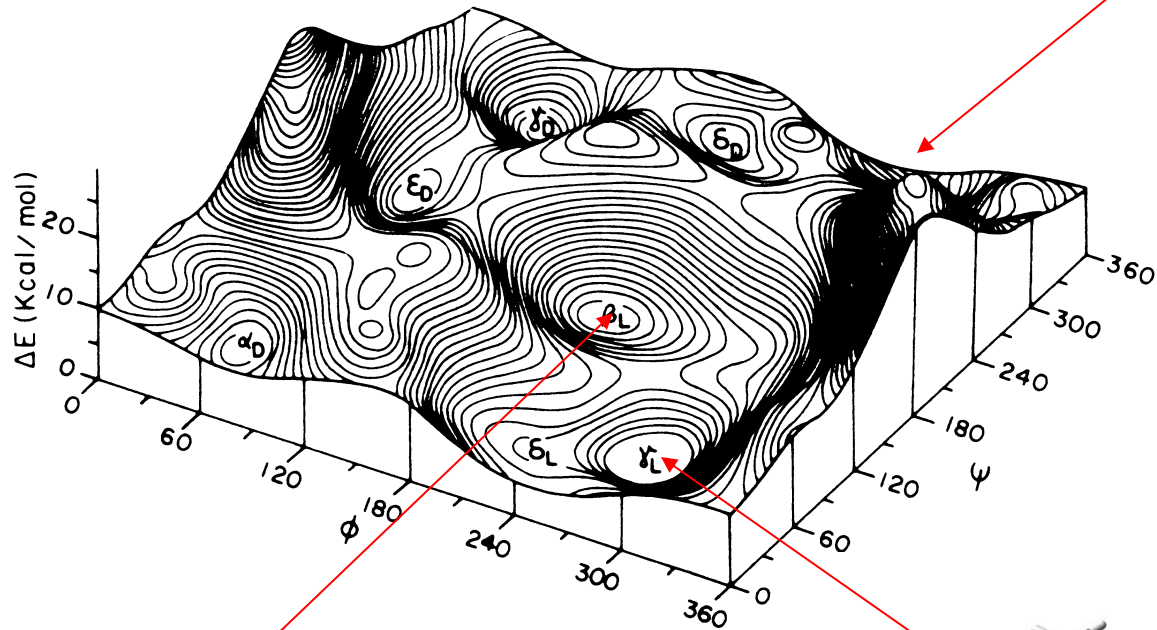


Ramachandran térkép, konformációs építőelemek

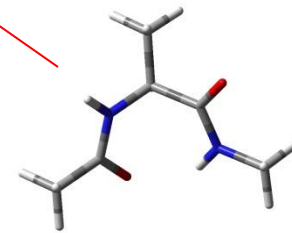


Meglevő és hiányzó „lego” elemek

α -hélix ?
poli Prolin II ?

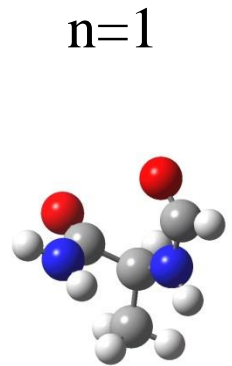
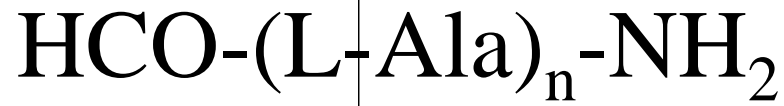


β -redő

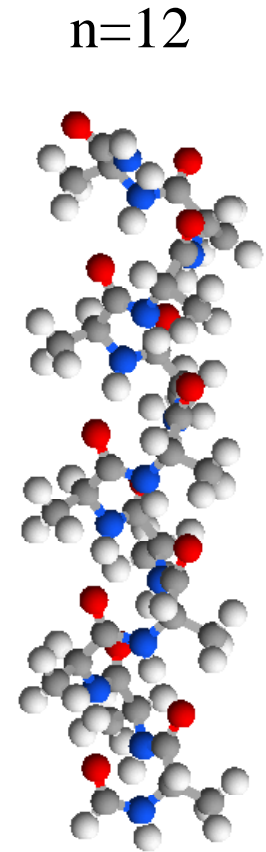
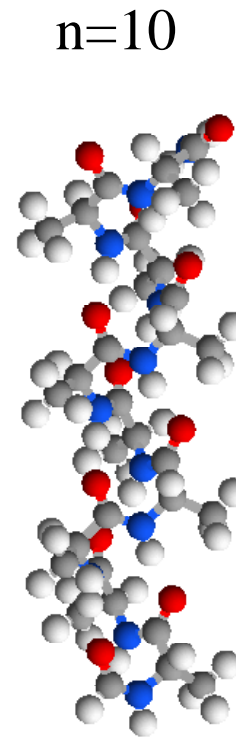
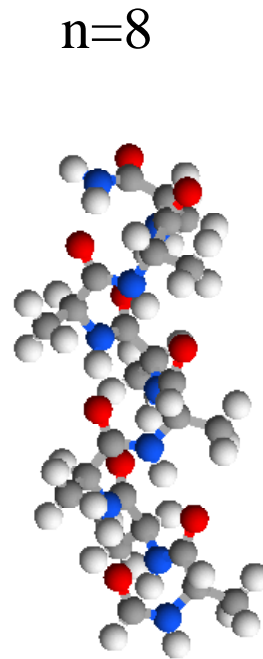


γ -kanyar

α -hélix modell

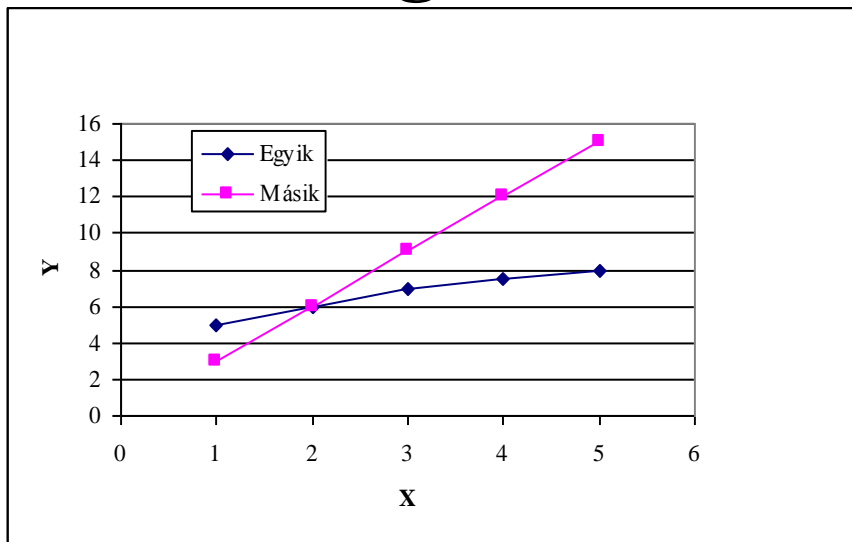


monomer



oligomer

Hogyan értelmezzük a konformerek stabilitásának az oligomer hossza szerinti változását?



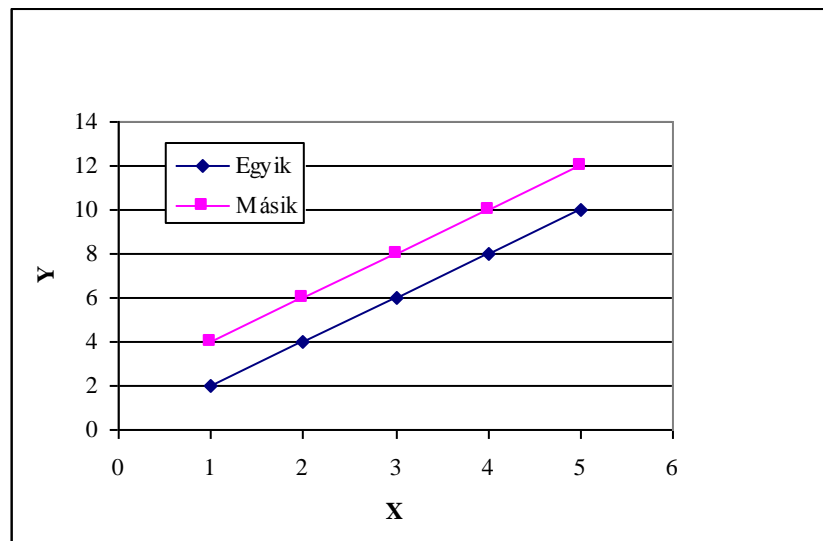
Egymást keresztező stabilitási sorozatok:

a hossz függvényében a két konformer stabilitása eltérően változik.

Kvázi párhuzamos lefutású stabilitási sorozatok:

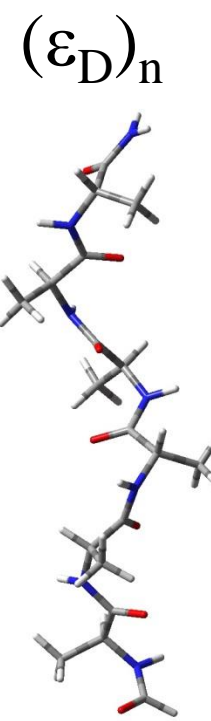
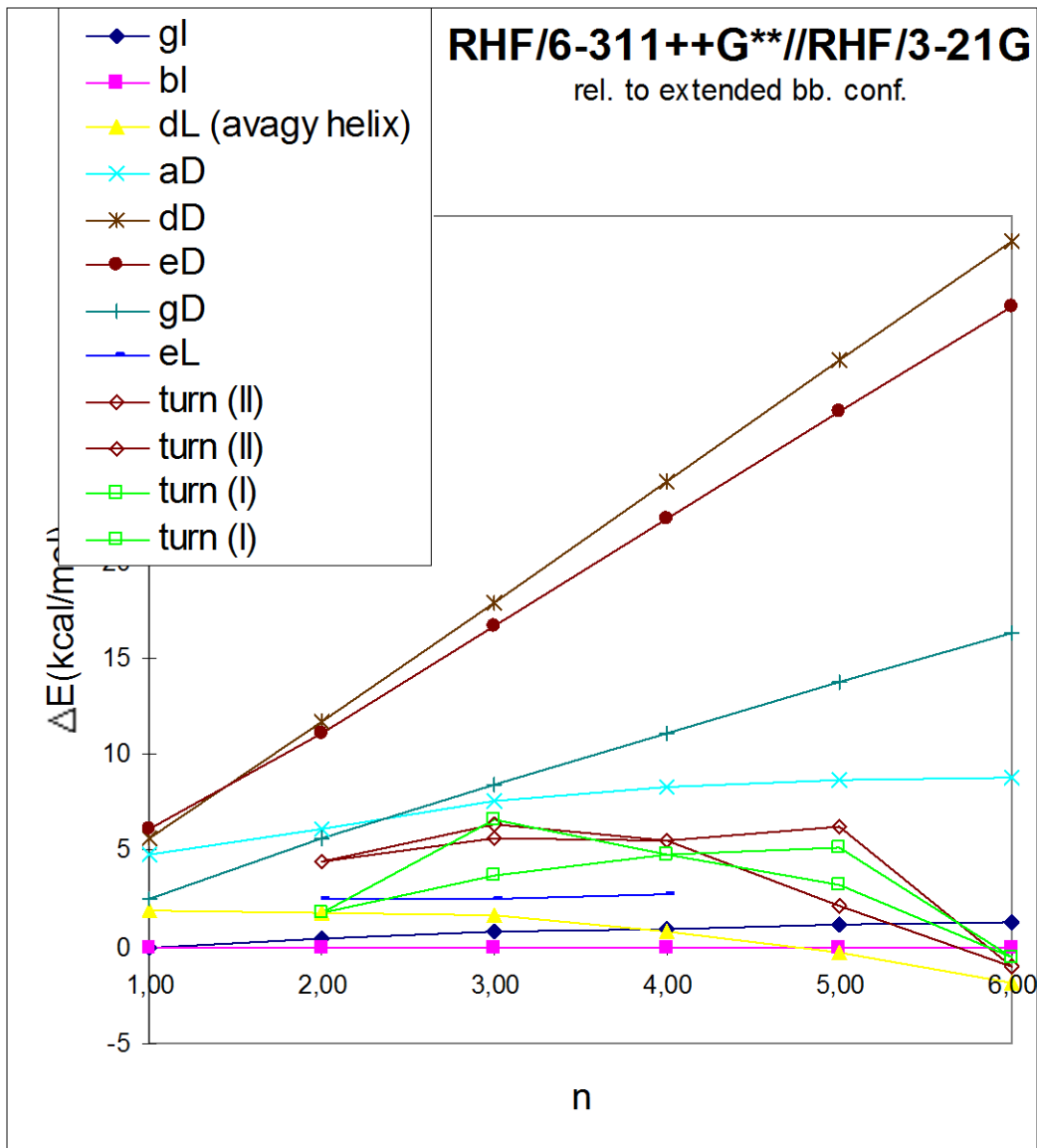
a hossz függvényében a két konformer stabilitása kvázi azonos módon változik.

For-(Aaa)_x-NH₂ x=1,2,..6

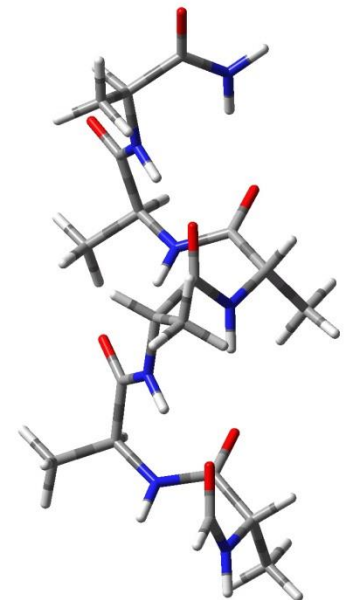
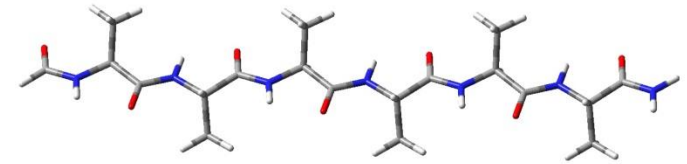
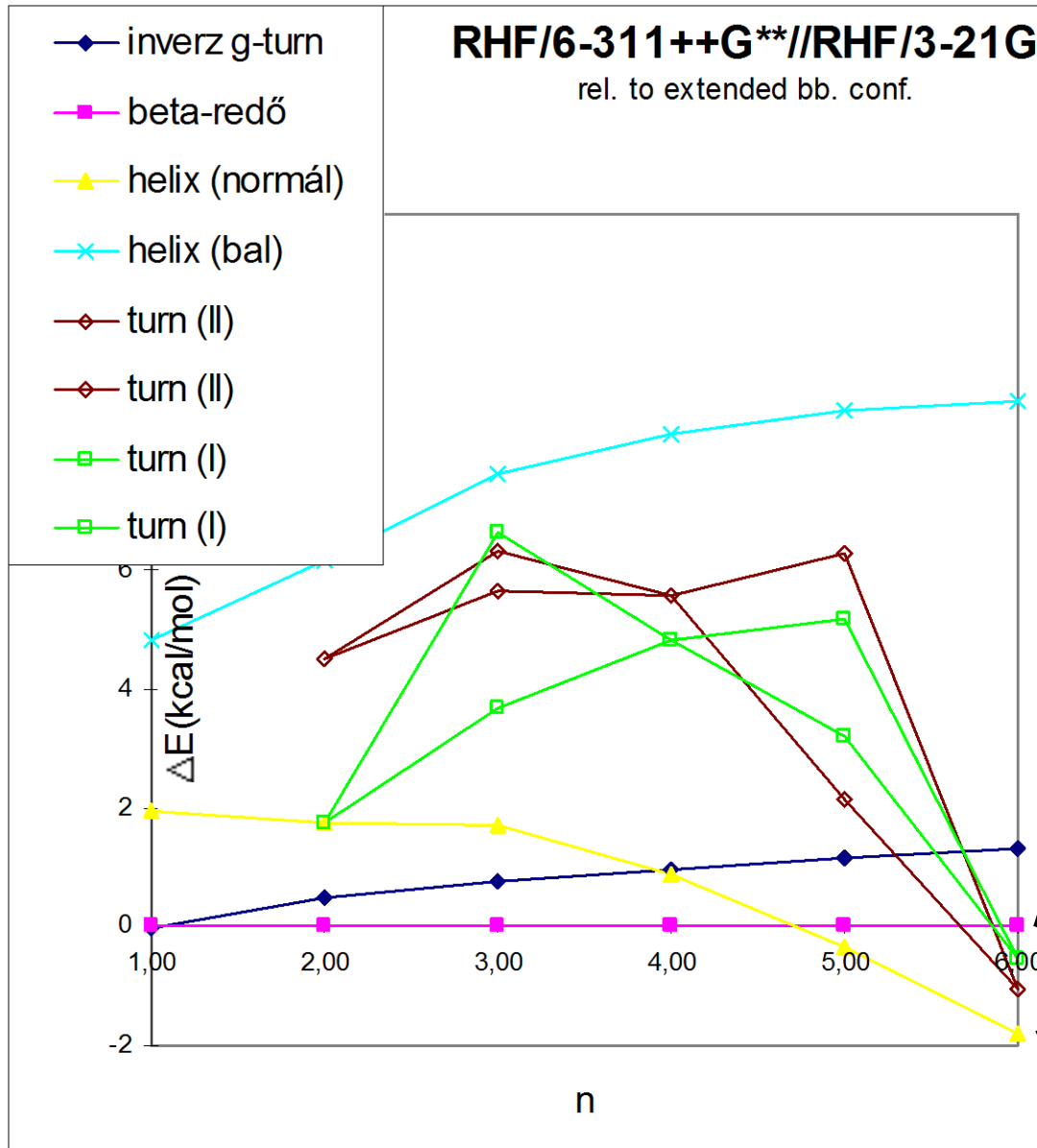


Relatív stabilitás

A konformerek relatív energiája az oligomer hosszának függvényében

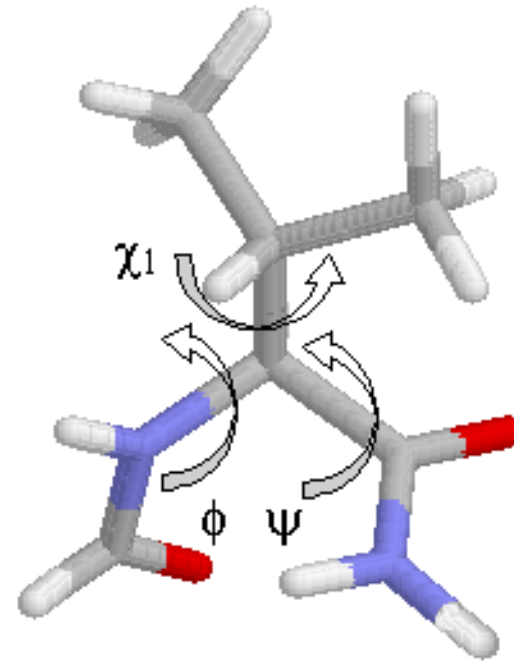
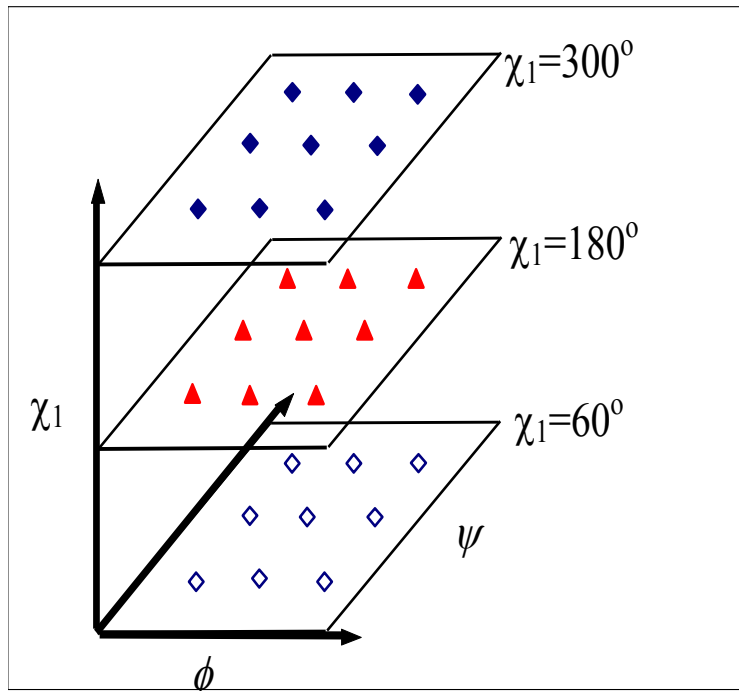


A konformerek relatív energiája az oligomer hosszának függvényében

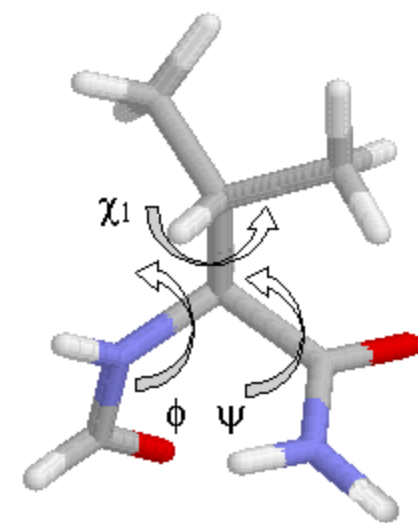


ab initio rendszerek alkalmazása

pl. **For-L-Val-NH₂**



legyen ω_0 és $\omega = 180^\circ$,
belátható hogy a konformerek maximális száma **27**

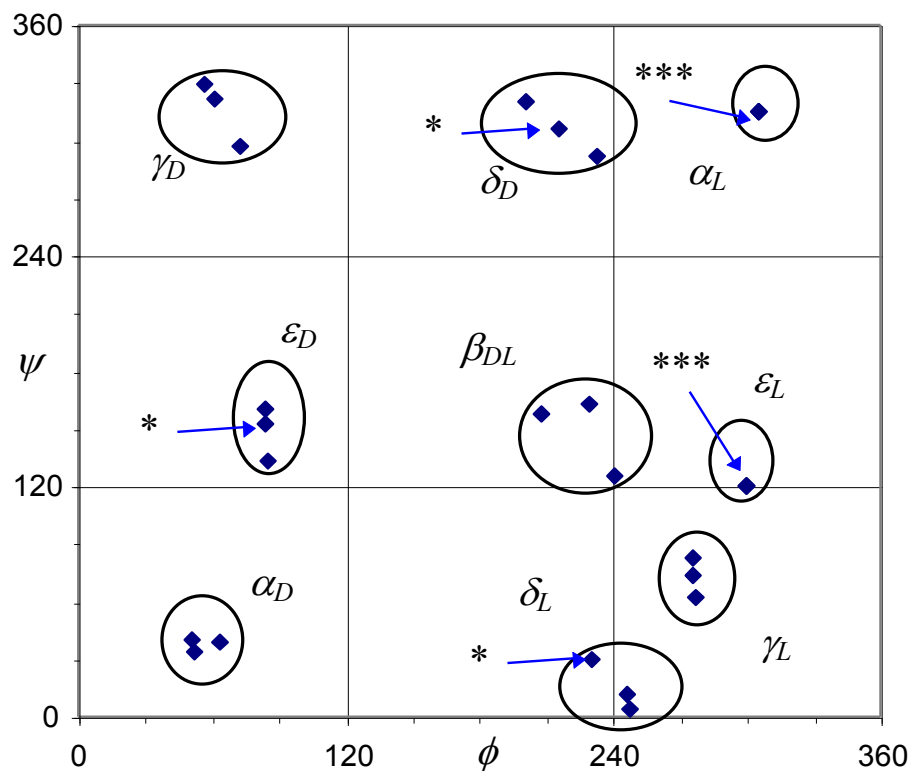
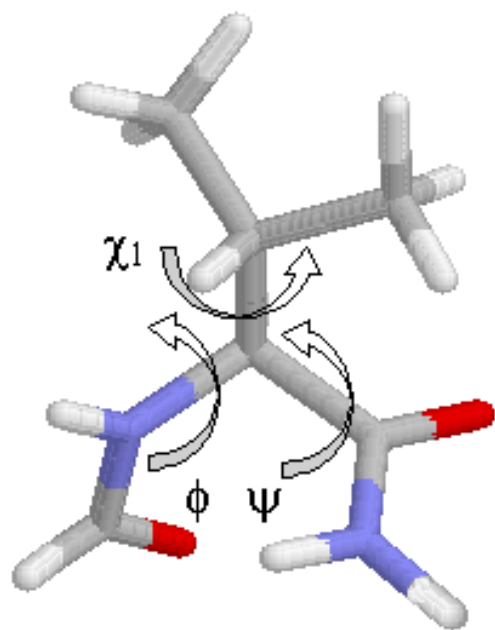


Energy calculation	Optimized geometry used	Conformer categories
• 3-21G RHF	3-21G RHF	20 full opt. +7 [,]-constr. opt.
• 6-31+G* RHF	3-21G RHF	20 full opt. +7 [,]-constr. opt.
• 6-311++G** B3LYP	3-21G RHF	20 full opt. +7 [,]-constr. opt.
• 6-311++G** B3LYP	6-311++G** B3LYP	18 full opt. +9 [,]-constr. opt.
• TZ2P RHF	6-311++G** B3LYP	18 full opt. +9 [,]-constr. opt.

Aims of the research:

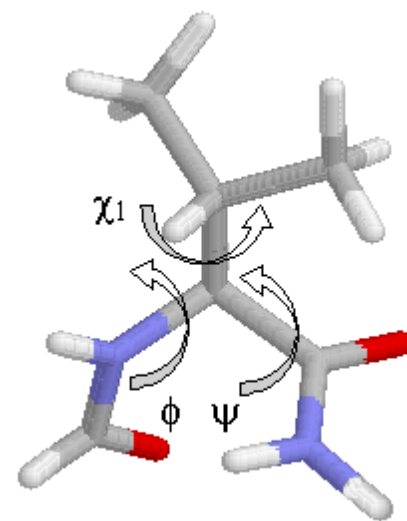
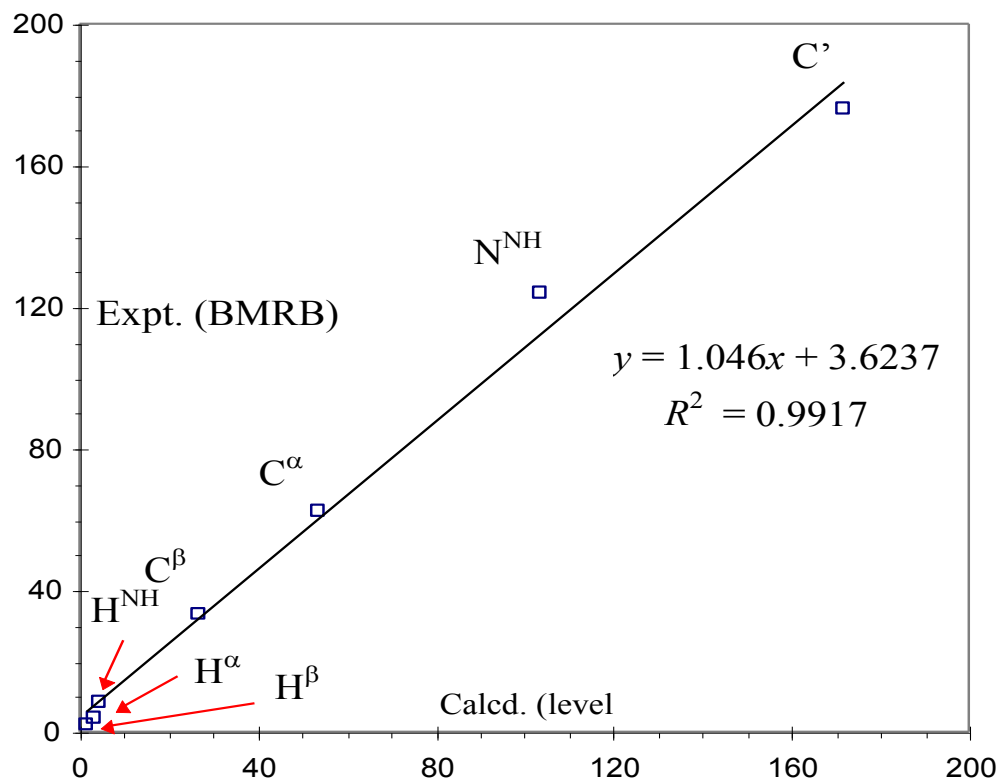
- -correlation of
- the ab initio data of different levels of theory:
- - structural properties (ϕ , ψ , χ_1 etc.)
- - relative energies (ΔE)
- - CSA values (σ , δ)
- - comparison of
- experimental (X-ray/PDB) and theoretical probabilities
- experimental (shift values /BMRB) and ab initio NMR chemical shifts

Locations of the different conformers of **For-L-Val-NH₂** (6-311++G** B3LYP) on a Ramachandran surface

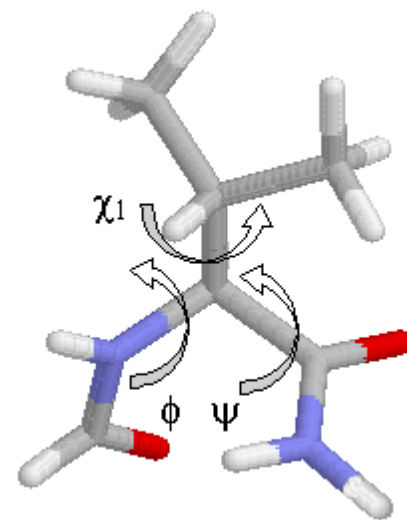
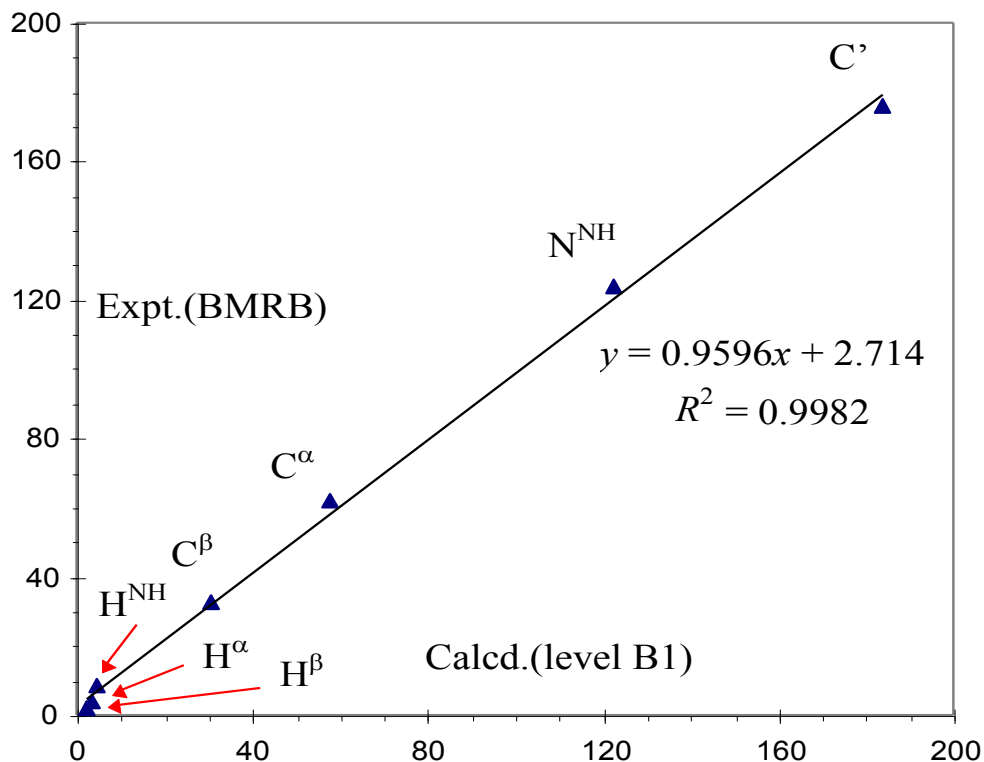


* structures with constrained $[\phi, \psi]$.

Correlation between *ab initio* and experimentally determined average (conformation independent) chemical shifts of nuclei in For-L-Val-NH₂ (GIAO-RHF/6-31+G*//RHF/3-21G)



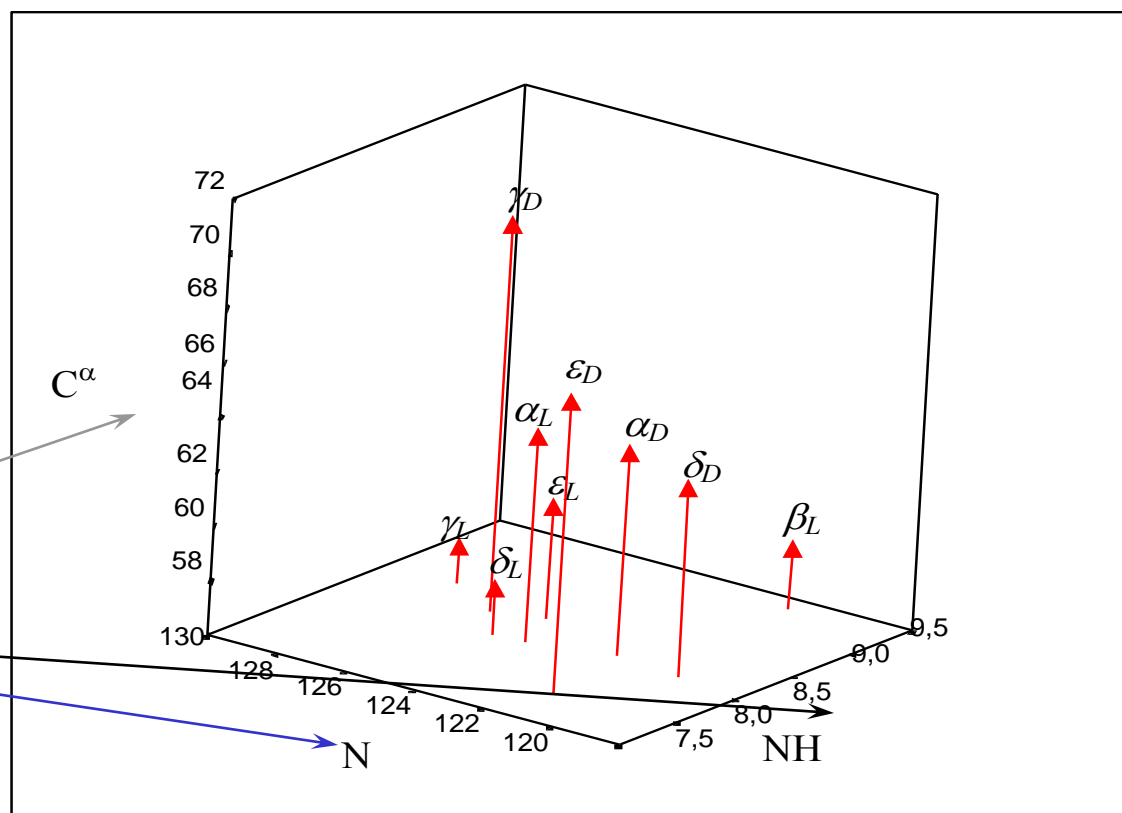
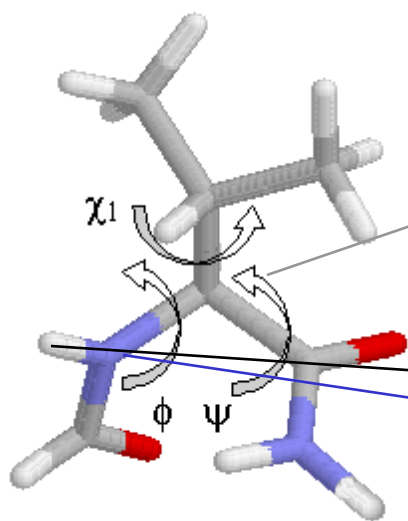
Correlation between *ab initio* and experimentally determined average (conformation independent) chemical shifts of nuclei in For-L-Val-NH₂
(GGIAO-RHF/TZ2P//B3LYP/6-311++G**)



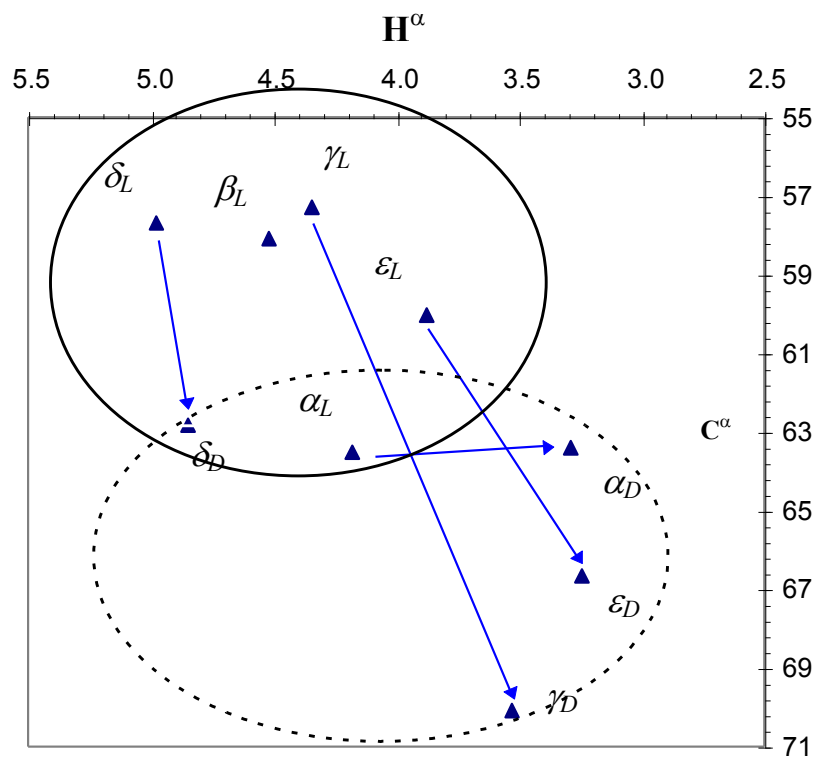
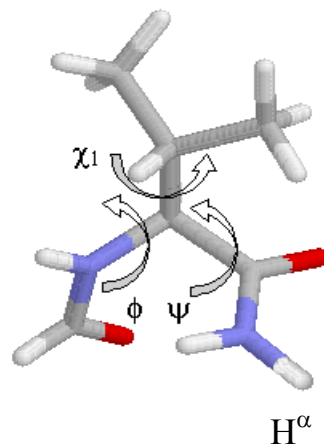
$^{15}\text{N}^{\text{NH}} - ^1\text{H}^{\text{NH}} - ^{13}\text{C}^{\alpha}$ correlated 3D-plots for For-L-Val-NH₂

(GIAO-RHF/TZ2P // B3LYP/6-311++G**)

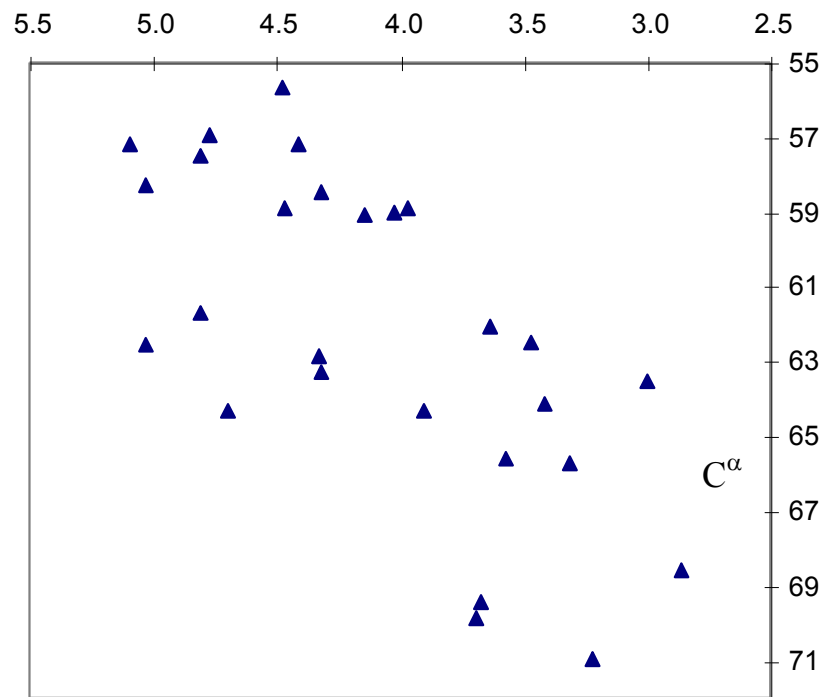
Chemical shifts for each backbone type were obtained by averaging all three side-chain rotamers.



$^1\text{H} - ^{13}\text{C}$ correlated 2D-plots for For-L-Val-NH₂ (GIAO-RHF/TZ2P//B3LYP/6-311++G**)

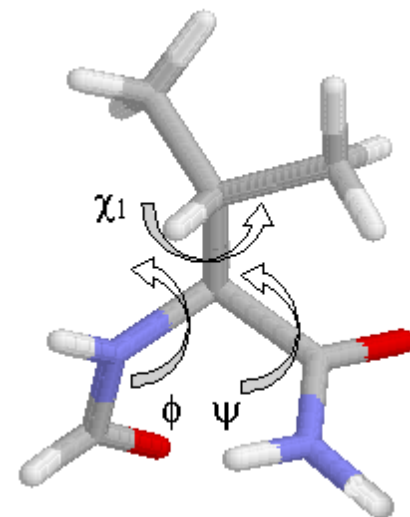
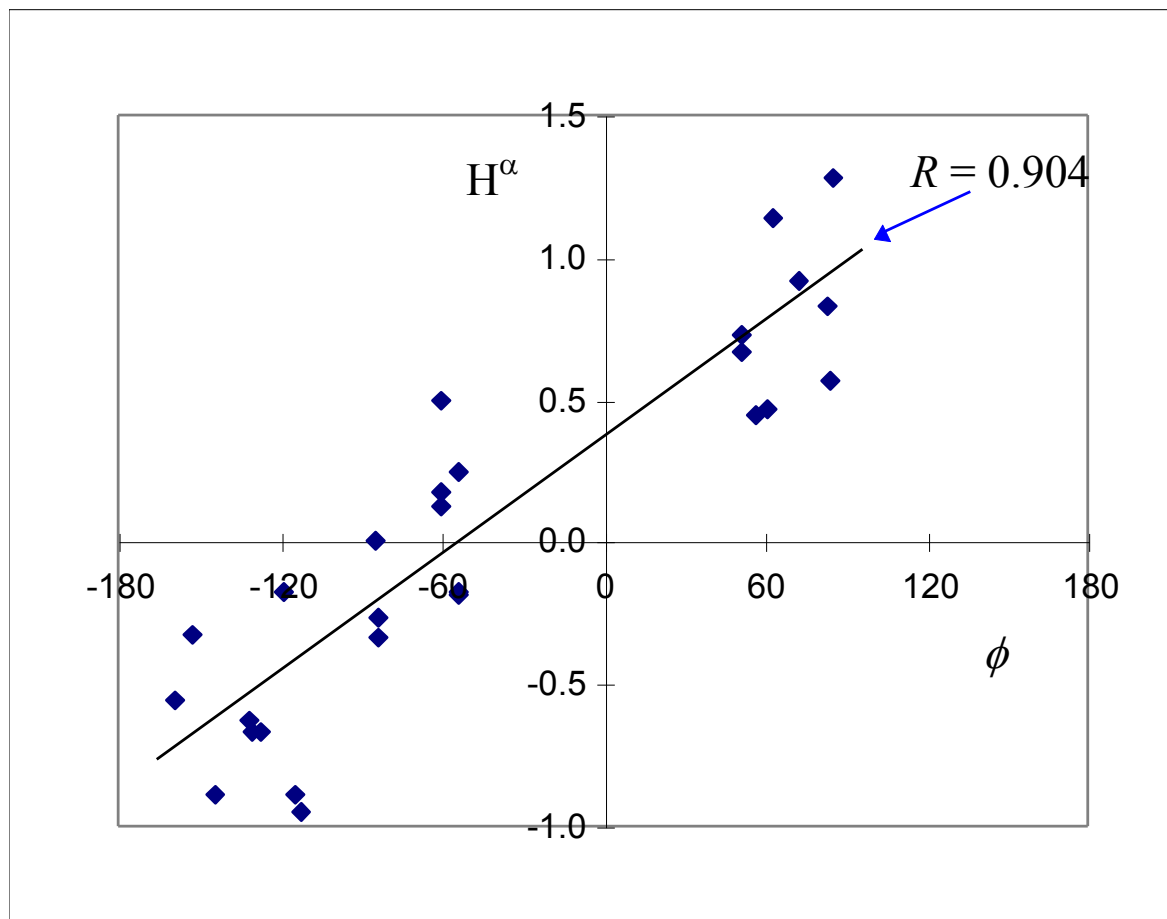


averaging the effect of side-chain orientation



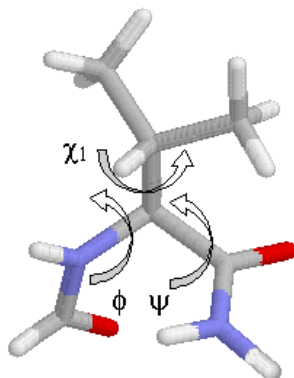
all 27 conformers

The maximized fit between $1H\alpha$ and ϕ at level B1 ($R^2 = 0.818$)

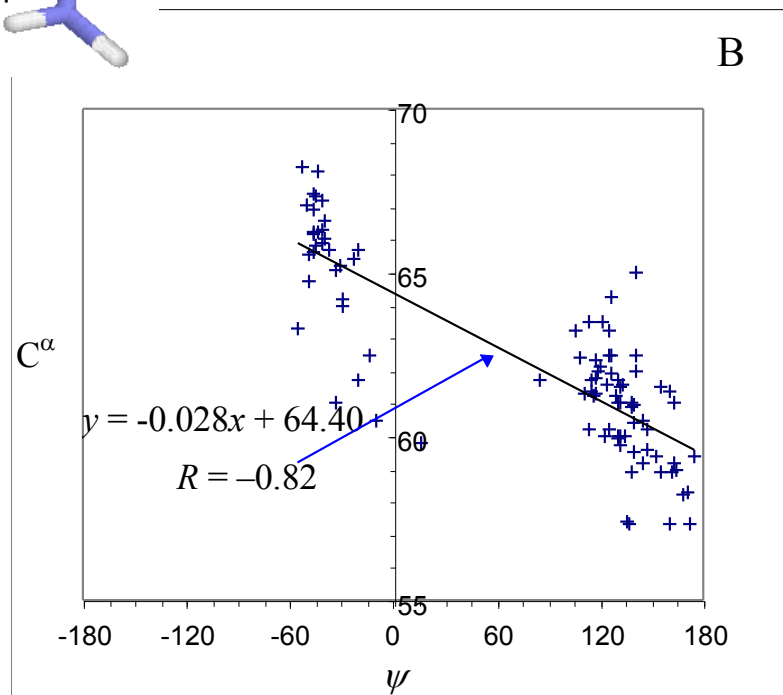
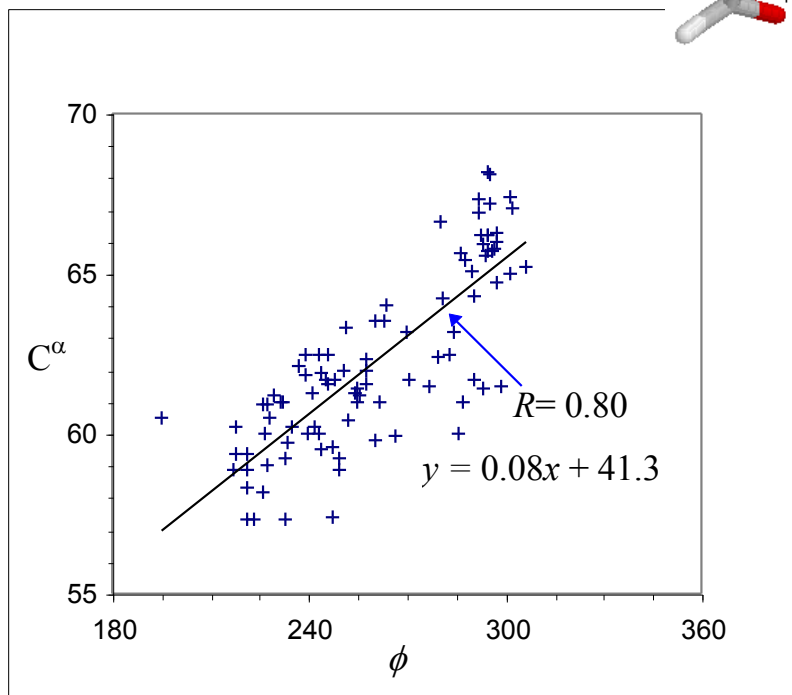


$^{13}\text{C}^\alpha - ^1\text{H}^\alpha$ chemical shift – chemical shift correlation plot for 93 valines found in 18 proteins

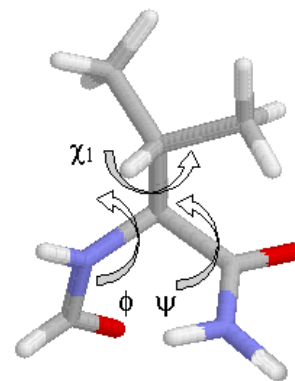
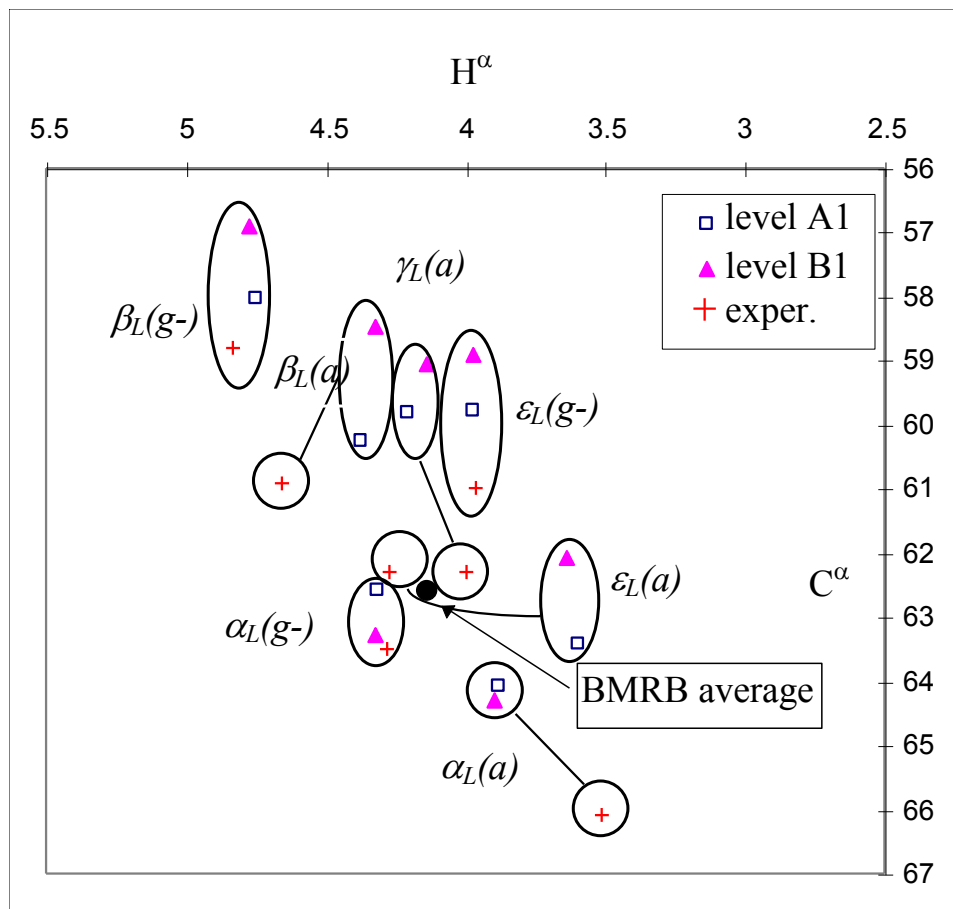
$^{13}\text{C}^\alpha/\phi$



$^{13}\text{C}^\alpha/\psi$



Experimentally determined and *ab initio* calculated H^α and C^α chemical shifts of valine conformers



(Computed values are uniformly shifted by 8.04 ppm [C^α] and 0.63 ppm [H^α] at level A1, and by 4.12 ppm [$^{13}C^\alpha$] and 0.35 ppm [H^α] at level B1 to match BMRB experimental average values $^{13}C^\alpha = 62.17$ ppm and $^1H^\alpha = 4.09$ ppm.) Only those conformers are plotted which were found in the 18 proteins more than twice.